#### Российская академия наук Институт физики твёрдого тела

На правах рукописи

#### ЩЕПЕТИЛЬНИКОВ Антон Вячеславович

# АНИЗОТРОПИЯ g-ФАКТОРА ЭЛЕКТРОНА В $GaAs/Al_xGa_{1-x}As$ ГЕТЕРОСТРУКТУРАХ, ИЗМЕРЕННАЯ ПОСРЕДСТВОМ МЕТОДИКИ ЭПР.

511600 - прикладная математика и физика

Диссертация на соискание учёной степени магистра

научный руководитель: член-корреспондент РАН И.В. Кукушкин.

# Оглавление

1	Вве	дение	2
	1.1	ЭПР в двумерных системах	2
	1.2	Одночастичный $g$ -фактор в $GaAs/Al_xGa_{1-x}As$ гетероструктурах	4
	1.3	Зависимость $g$ -фактора электрона от магнитного поля	8
	1.4	Постановка задачи.	9
ก	N/L		10
2	Me	годика измерений и образцы	10
	2.1	Образцы	10
	2.2	Методика измерений	11
3	Рез	ультаты и обсуждения	17
4	Выі	воды	24

#### Глава 1

# Введение

Исследование физических явлений, связанных со спином, представляет значительный фундаментальный и практический интерес. Существует огромное число фундаментальных спин-зависимых явлений: спиновый эффект Холла[1],спиновый экситон [2], переход металл-изолятор [3]. Более того, электрон может находиться в двух спиновых состояниях, а значит, может быть использован для кодирования бита информации. Таким образом, управление спиновыми состояниями электрона позволит создавать сверхмалые логические элементы и массивы памяти с большой информационной емкостью и большим быстродействием[4]. Для решение такой задачи необходимо понимание, какие факторы (концентрация носителей заряда, симметрия "встроенного"потенциала гетероструктуры, внешние магнитные и электрические поля) влияют на величину спинового расщепления.

Величина спинового расщепления определяется значением *g*-фактора Ланде́. Существует большое число различных экспериментальных методов измерения *g*-фактора, при этом одной из наиболее точных является методика, основанная на явлении электронного парамагнитного резонанса (ЭПР). ЭПР был открыт Завойским в 1944 году[5].

#### 1.1 ЭПР в двумерных системах.

Рассмотрим явление ЭПР в двумерных электронных системах (2 ДЭС), например, сформированных в  $GaAs/Al_xGa_{1-x}As$  квантовых ямах. В таких структурах движение электрона вдоль направления роста заквантовано в уровни размерного квантования, а движение в плоскости ямы свободно. При приложении достаточно сильного магнитного поля вдоль направления роста спектр движения в плоскости ямы пред-

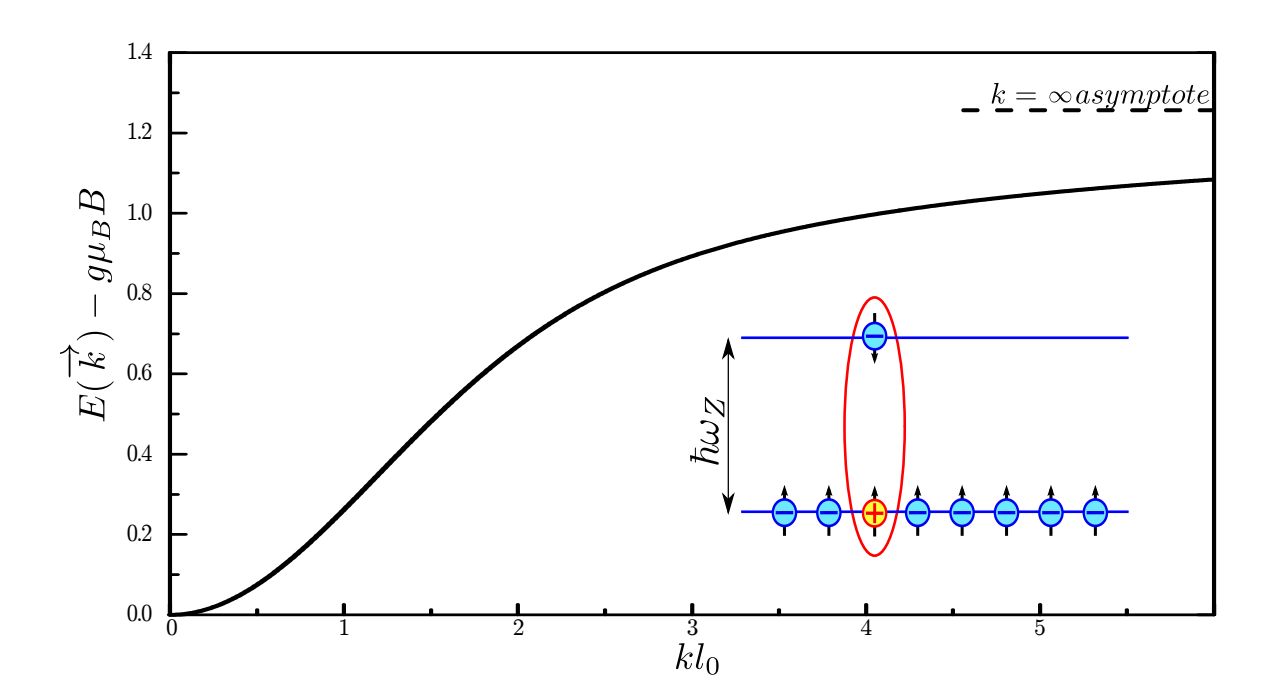


Рис. 1.2: Спектр спинового экситона при  $\nu_{\uparrow} = 1, \nu_{\downarrow} = 0$ , рассчитанный в работе[2].  $E - g\mu_B B$  измеряется в единицах  $e^2/l_B$ . На вставке схематично изображен спиновый экситон, состоящий из дырки на нижнем и электрона на верхнем спин-расщепленных уровнях Ландау. ставляет собой набор уровней Ландау, каждый из которых расщеплен по спину.

При ЭПР происходит резонансное поглощение фотона с энергией равной величине спинового расщепления электрона, электрон с нижнего отщепленного по спину подуровню Ландау переходит на верхний, при этом его спин переворачивается. Электрон с верхнего и дырка с нижнего подуровней образуют связанное состояние, называемое спиновый экситон. Такое возбуждение является нейтральной частицей, может двигаться в плоскости двумерной ямы, при этом из-за силы Лоренца его волновой вектор k и расстояние r между электроном и дыркой связаны:

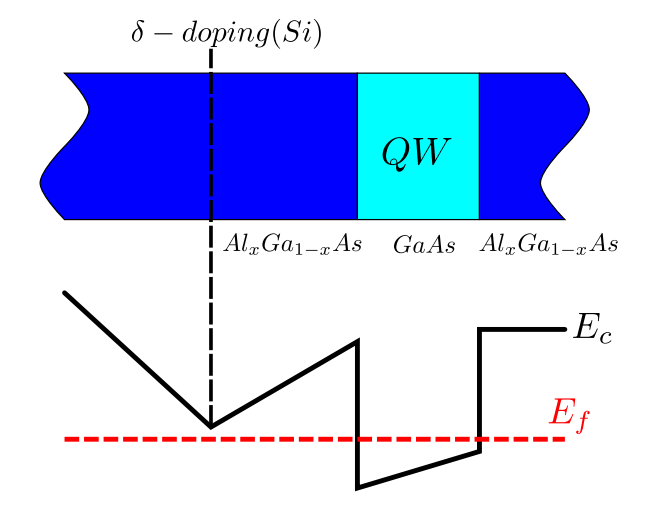


Рис. 1.1: Схематичное изображение двумерной  $GaAs/Al_xGa_{1-x}As$  квантовой ямы с 2ДЭС. Черной сплошной линией обозначена зона проводимости структуры, а красной пунктирной - уровень Ферми.

$$k = \frac{r}{l_B^2} \tag{1.1}$$

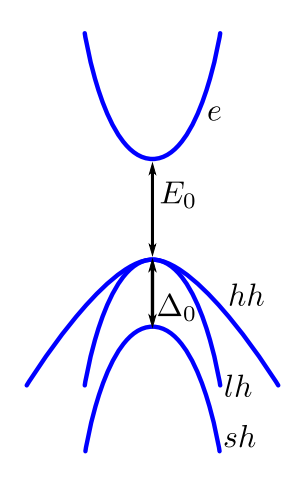
Здесь  $l_B$  - магнитная длина. Таким образом, в сопротивление могут вносить вклад только коротковолновые спиновые экситоны, поскольку именно в таких экситонах электрон и дырка практически разделены силой Лоренца и независимы.

Спектр спинового экситона (см. 1.2) был рассчитан Kallin, Halperin в 1984 году[2]. В полном соответствии с теоремой Лармора энергия экситона при малых волновых векторах равна одночастичной энергии Зеемановского расщепления. В экспериментах, проведенных в рамках данной работы, характерный волновой вектор фотонов диапазона существенно меньше обратной магнитной длины, а значит, рождаемые при ЭПР спиновые экситоны являются длинноволновыми. Таким образом, методика ЭПР позволяет исследовать одночастичный, не усиленный обменно g-фактор.

#### Одночастичный g-фактор в $GaAs/Al_xGa_{1-x}As$ гетеро-1.2структурах.

Объемные полупроводники со структурой цинковой обманки  $(GaAs, Al_xGa_{1-x}As)$  обладают точечной группой  $T_d$ , при этом g-фактор электрона является скаляром, а величина спинового расщепления не зависит от направления магнитного поля. Подчеркнем, что в таких полупроводниках фактор Ланде́ может существенно отличаться от g-фактора свободного электрона.

Дело TOM, ОТР сильного из-за спинорбитального взаимодействия происходит переме- Рис. 1.3: Схематичное изображение шивание зоны проводимости (S-типа) и валентных зонной структуры полупроводника зон(см. 1.3), обладающих не нулевым орбиталь- со структурой цинковой обманки. ным моментом. Экспериментально g-фактор в



 $Al_xGa_{1-x}As$  в зависимости от x был измерен Weisbuch в 1977 году([6]). Чем выше концентрация Al, тем больше величина запрещенной зоны, а значит, меньше подмешивания

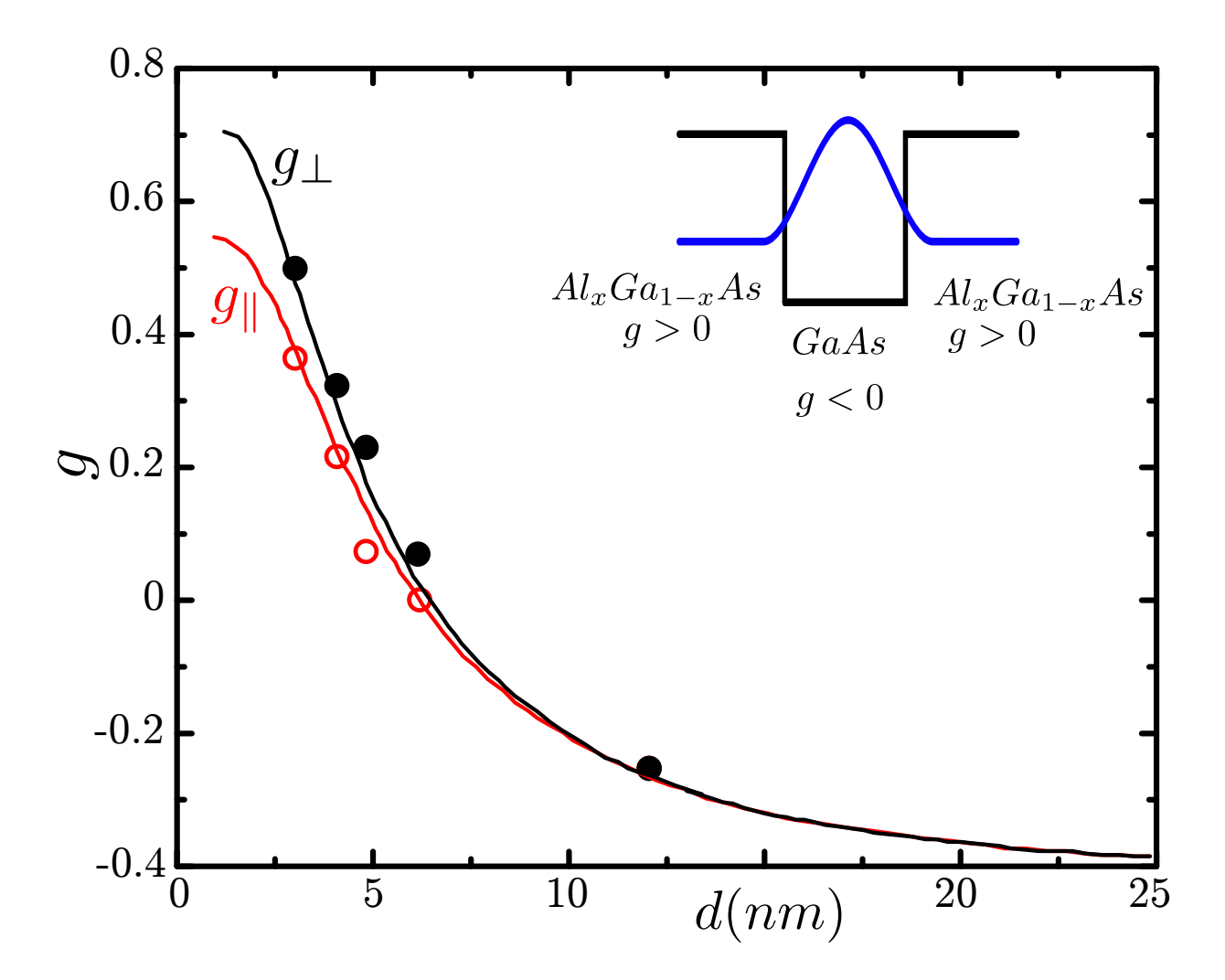


Рис. 1.4: g-фактор электрона в симметричных  $GaAs/Al_xGa_{1-x}As$  квантовых ямах. Сплошные линии -теоретический расчет из работы [8], символы - экспериментально измеренные значения [12](при x=0.33). На вставке - схематичное изображение зоны проводимости и волновой функции электрона в таких ямах.

валентных зон в зону проводимости, а значит, и величина g-фактора ближе к значению  $g_0$  свободного электрона. Теоретический расчет был выполнен Roth, Lax, Zwerdling в 1959 году([7]):

$$g = g_0 - \frac{2}{3} \frac{P^2}{m_0} \frac{\Delta_0}{E_0(E_0 + \Delta_0)} + C_l$$
 (1.2)

Здесь  $g_0$  - g - фактор свободного электрона;  $E_0, \Delta_0$  - параметры зонной структуры полупроводника(см. 1.3); P - матричный элемент  $\hat{p}$ , взятый между зоной проводимости и валентной зоной;  $C_l$  - вклад дальних зон.

Понижение размерности электронной системы приводит, как правило, к понижению ее симметрии. Так симметричные  $GaAs/Al_xGa_{1-x}As$  квантовые ямы, выращенные вдоль

направления [001] имеют точечную группу  $D_{2d}$ . При этом g-фактор электрона в таких структурах является тензором с двумя независимыми компонентами ( $g_{\perp} \neq g_{\parallel}$ ). Такие структуры достаточно хорошо изучены как теоретически ([9, 8]), так и экспериментально [13, 15, 16, 17, 14, 12]. Измерение g-фактора в симметричных квантовых ямах (см. рис. 1.4)проводилось при помощи различных оптических методик (методики ритррове, основанные на квантовых биениях в излучении[13, 14], поглощении[15], вращении поляризации света[16, 17]).Заметим, что исследованные симметричные квантовые ямы в данных работах были номинально незаряженными.

Компоненты тензора g-фактора в квантовых ямах (особенно в узких ямах) могут существенно отличаться от значения в объемном GaAs. Дело в том, что уровни размерного квантования в яме лежат выше дна зоны проводимости объемного GaAs, что уменьшает перемешивание зон, т.е. уменьшает вклад спин-орбитального взаимодействия в значение g-фактора. Более того, волновая функция электрона простирается в барьерную область, фактор Ланде́ в которой ,как правило, другой(так в  $GaAs\ g = -0.44$ , а в  $Al_{0.3}Ga_{0.7}As\ g = +0.4$ ), что также приводит к уменьшению эффективного g-фактора.

Асимметричные квантовые ямы с направлением роста [001] обладают точечной группой  $C_{2v}$ , а тензор  $\hat{g}$  фактора Ланде́ имеет три независимые компоненты (  $g_x \neq g_y \neq g_z$ ), а спиновое расщепление проявляет анизотропию и в плоскости такой квантовой ямы.

Экспериментально тензор g-фактора исследовался в номинально незаряженных квантовых ямах. При этом асимметрия потенциала, ограничивающего движение электронов в гетероструктуре, вносилась при помощи приложения внешнего электрического поля([19]) или посредством вариации концентрации Al в квантовой яме([20]). Подробного исследования тензора g в асимметричных заряженных квантовых ямах до этой работы выполнено не было.

Теоретическое объяснение возникновения плоскостной анизотропии g было произведено в работе [18]. Следуя этой работе, рассмотрим квантовую яму конечной ширины с направлением роста Oz(кристаллографическое направление [001]). Направим оси  $O\xi$  и  $O\zeta$  вдоль [100], [010] соответственно. Пусть к яме приложено небольшое магнитное поле, так что его плоскостная компонента  $H_{\parallel}$  направлена вдоль оси  $O\xi$ . Тогда  $H_{\parallel}$  замешивает "быстрое" движение вдоль направления роста структуры и движение в плоскости ямы, так что импульс электрона изменяется на небольшую величину; эта добавка  $\delta \overrightarrow{p}$  направленна вдоль оси  $O\zeta$ . Изменение импульса электрона приводит к изменению спин-орбитальных

магнитных полей, вызывающих прецессию электронного спина с угловыми скоростями  $\overrightarrow{\Omega}_D$  и  $\overrightarrow{\Omega}_R$ :

$$\overrightarrow{\Omega_R}(\overrightarrow{p}) = \alpha/\hbar^2 \begin{pmatrix} p_{\zeta} \\ -p_{\xi} \\ 0 \end{pmatrix}, \overrightarrow{\Omega_D}(\overrightarrow{p}) = \beta/\hbar^2 \begin{pmatrix} -p_{\xi} \\ p_{\zeta} \\ 0 \end{pmatrix}$$
(1.3)

Здесь  $\overrightarrow{\Omega}_R$  - угловая скорость прецессии спина, обусловленная спин-орбитальным полем Рашбы [10]. Её добавка  $\delta \overrightarrow{\Omega}_R$ , обусловленная изменением импульса электрона  $\delta \overrightarrow{p}$ , направлена вдоль оси  $O\xi$ , как и внешнее поле  $H_{\parallel}$ , т.е. спин-орбитальное взаимодействие Рашбы приводит к перенормировке диагональных компонент тензора  $\hat{g}$ .

 $\overrightarrow{\Omega}_D$  - угловая скорость прецессии спина, обусловленная спин-орбитальным полем Дрессельхауса[11], а ее добавка  $\delta \overrightarrow{\Omega}_D$ , в свою очередь, направлена вдоль оси  $O\zeta$  перпендикулярно внешнему полю  $H_{\parallel}$ , т.е. спин-орбитальное взаимодействие Дрессельхауса приводит к появлению внедиагональных компонент тензора  $\hat{g}$ .

Подробный расчет дает формулу [18]:

$$g_{\xi\zeta} = g_{\zeta\xi} = \frac{2\gamma e}{\hbar^3 \mu_B} (\langle p_z^2 \rangle \langle z \rangle - \langle p_z^2 z \rangle)$$
 (1.4)

Здесь  $\gamma$  - константа Дрессельхауза. Усреднение берется по волновым функциям электрона.

Можно показать (с учетом  $g_{\xi\xi}=g_{\zeta\zeta},\,g_{\xi\zeta}=g_{\zeta\xi}$ ), что главными осями тензора  $\hat{g}$  в асим-метричных квантовых ямах являются кристаллографические направления [001], [110], [1 $\overline{10}$ ].

Итак, в главных осях (пусть кристаллографическим направлениям [001], [110], [1 $\overline{10}$ ] соответствуют оси Ox, Oy и Oz) тензор  $\hat{g}$  диагонален. Пусть магнитное поле  $\overrightarrow{B}$  приложено к 2 ДЭС так, что угол между полем и нормалью к плоскости 2 ДЭС равен  $\theta$ , а его плоскостная компонента составляет с осью Ox угол  $\phi$ . Тогда g-фактор электрона и величина спинового расщепления  $\hbar\omega$  будет иметь вид:

$$g = \sqrt{g_{zz}^2 \cos^2\theta + g_{xx}^2 \sin^2\theta \cos^2\phi + g_{yy}^2 \sin^2\theta \sin^2\phi}$$
 (1.5)

$$\hbar\omega = \mu_B B \sqrt{g_{zz}^2 cos^2\theta + g_{xx}^2 sin^2\theta cos^2\phi + g_{yy}^2 sin^2\theta sin^2\phi}$$
 (1.6)

Таким образом, по зависимости частоты ЭПР от ориентации магнитного поля в образцах можно определить диагональные компоненты тензора g-фактора

# 1.3 Зависимость g-фактора электрона от магнитного поля.

В 2 ДЭС, сформировавшихся в  $GaAs/Al_xGa_{1-x}As$  гетероструктурах, спектр носителей заряда непараболичен, что приводит к зависимости g-фактора электрона от магнитного поля. Из теоретического рассмотрения [24] следует, что при магнитном поле перпендикулярном плоскости двумерных электронов зависимость g-фактора от поля кусочно-линейна с разрывами вблизи четных факторов заполнения:

$$g = g_0 + aB \tag{1.7}$$

Здесь  $g_0$ -значение g-фактора вблизи дна подзоны размерного квантования, а a -константа, определяющаяся параметрами образца (шириной квантовой ямы, концентрацией алюминия в барьере и концентрацией электронов в яме). Более того, линейная по магнитному полю поправка a зависит от номера соответствующего уровня Ландау N ( $a \sim (N+1/2)$ ). Такое поведение g(B) наблюдалось и на эксперименте[25, 26].

Линейные по магнитному полю поправки образуют тензор  $a_{\alpha\beta\gamma} = \partial g_{\alpha\beta}/\partial B_{\gamma}$ . При этом нет никаких оснований полагать, что тензор  $\hat{a}$  диагонален в главных осях тензора  $\hat{g}$ . Тогда для произвольной ориентации магнитного поля (задаваемой как ранее было указано углами  $\phi$  и  $\theta$ ) можно переписать формулу 1.5, отбросив члены высшего порядка по В:

$$g(B) = g(B=0) + a^*B (1.8)$$

$$a^* = \frac{1}{g(B=0)} \sum_{i,j,k} g_{ij} a_{ijk} n_i n_j n_k$$
 (1.9)

Здесь  $\overrightarrow{n}$  - единичный вектор, направленный вдоль магнитного поля  $\overrightarrow{B}$ :

$$n_x = \sin\theta\cos\phi, n_y = \sin\theta\sin\phi, n_z = \cos\theta \tag{1.10}$$

Заметим, что теоретически предсказано существование только одного ненулевого элемента тензора a -  $a_{zzz}$ . Подчеркнем, что экспериментального анализа тензора линейных по магнитному полю поправок  $\hat{a}$  ранее произведено не было.

#### 1.4 Постановка задачи.

Как было указано выше, тщательного исследования тензора  $g_{\alpha\beta}$  в симметричных и асимметричных заряженных квантовых ямах до этой работы выполнено не было. Более того, структура тензора линейных по магнитному полю поправок к g не была установлена. Стоит подчеркнуть, что именно  $GaAs/Al_xGa_{1-x}As$  гетероструктуры являются потенциально основой для многочисленных приборов спинтроники.

Целью данной работы было тщательное исследование g-фактора в  $GaAs/Al_xGa_{1-x}As$  квантовых ямах при помощи чрезвычайно точной методики ЭПР: определение главных осей тензора, выявление структуры тензора линейных поправок  $\hat{a}$ , выявление влияния симметрии квантовой ямы на тензора  $g_{\alpha\beta}$  и  $a_{\alpha\beta\gamma}$ .

#### Глава 2

# Методика измерений и образцы

#### 2.1 Образцы.

Таблица 2.1: Характеристики исследованных образцов (подвижность и концентрация указаны при гелиевой температуре).

	heterojunction(#1)	AQW (#2)	AQW(#3)	AQW(#4)	SQW(#5)
width, nm	-	25	25	20	20
$n, 10^{11} cm^{-2}$	1.4	4.0	3.6	4.4	4.8
$\mu, 10^6 \frac{cm^2}{Vs}$	3.0	1.0	0.7	0.6	0.5

Для исследования был отобран ряд образцов. Все они были выращены с помощью метода МВЕ в направлении [001]. Концентрация Al в образцах варьировалась от 30% до 33%. Первый из них представлял собой одиночный  $\delta$ -легированный кремнием  $GaAs/Al_xGa_{1-x}As$  гетеропереход с концентрацией  $n\approx 1.3\times 10^{11}cm^{-2}$  и подвижностью  $\mu\approx 3\times 10^6cm^2/Vs$  при гелиевых температурах. Остальные образцы представляли собой  $GaAs/Al_xGa_{1-x}As$  квантовые ямы с различными ширинами и разной симметрии. Образцы 2,3 - асимметрично  $\delta$ -легированные кремнием квантовые ямы шириной 25nm, с концентрацией  $n\approx 4\times 10^{11}cm^{-2}$  и подвижностью  $\mu\approx 10^6cm^2/Vs$ . Образцы 4 и 5 - асимметрично и симметрично  $\delta$ -легированные квантовые ямы с примерно одинаковой концентрацией и подвижностью  $(n\approx 4.5\times 10^{11}cm^{-2},\,\mu\approx 0.6\times 10^6cm^2/Vs)$ . На всех образцах, кроме третьего, были приготовлены стандартные мостики Холла с истоком, стоком

и четырьмя потенциометрическими контактами. На третьем образце были изготовлены два взаимно перпендикулярных мостика Холла, так что линия сток исток каждого из них была параллельно кристаллографическим направлениям [110] и [110] соответственно.

#### 2.2 Методика измерений.

Стандартные методики измерения ЭПР[28], основывающиеся на изменении добротности микроволнового резонатора, практически не пригодны для изучения спиновых явлений в двумерных электронных системах (2ДЭС), так так число спинов в таких структурах достаточно мало. Однако, в 1983 году Stein, von Klitzing, Weinman предложили альтернативный способ детектирования ЭПР[26]: дело в том, что продольное сопротивление образца в режиме квантового эффекта Холла крайне чувствительно к электронному парамагнитному резонансу, когда уровень Ферми находится между двумя спин-расщепленными подуровнями Ландау. Поглощение микроволнового излучения детектировалось по изменению продольного сопротивления  $\delta R_{xx}$ .

Для измерения этого изменения была собрана стандартная схема двойного синхронного детектирования (см. рис. 2.2). Через образец пропускался переменный ток ( $f \approx 2kHz, I_{rms} = 5\mu A$ ). Образец освещался СВЧ-излучением, модулированным по амплитуде с частотой модуляции  $\approx 40Hz$  и глубиной практически 100%. При этом первый синхронный детектор был настроен на частоту переменного тока, измерял сигнал пропорциональный продольному сопротивлению образца  $R_{xx}$ . Второй синхронный детектор брал сигнал с выходы первого и был настроен на частоту модуляции СВЧ-излучения, таким образом измерял добавку к продольному сопротивлению образца  $\delta R_{xx}$ , обусловленную поглощением микроволнового излучения.

Типичный вид зависимости  $R_{xx}(B)$  и  $\delta R_{xx}(B)$  на образце 2 приведен на рис. 2.3. Вид дифференциального

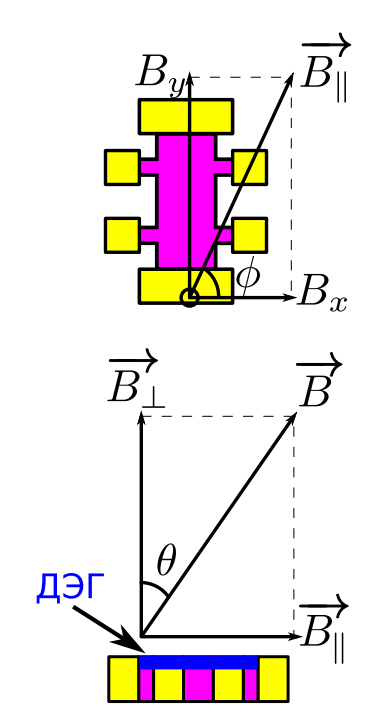


Рис. 2.1: Мостик Холла, приготовленный на образце. Углы  $\theta$  и  $\phi$  задают ориентацию магнитного поля.

сигнала вдали от пика ЭПР обусловлен разогревом электронной системы из-за нерезонансного поглощения СВЧ-излучения. Вид его практически не зависит от частоты. При изменении частоты пик ЭПР смещается по магнитному полю. Характерный вид пиков и их сдвиг при изменении частоты показан на рис. 2.5. Таким образом можно измерить зависимость частоты ЭПР f, а значит, и g-фактора электрона от магнитного поля.

Измерения проводились при развороте магнитного поля и постоянной частоте излучения. Однако, можно зафиксировать поле и разворачивать частоту, при этом получаемые результаты (положение и ширина пика не изменяются [21]). Однако удобнее разворачивать магнитное поле.

Измерения проводились в диапазоне температур от 1.5K до 4K и в магнитных полях вплоть до 10T. Сигнал ЭПР наблюдался вблизи факторов заполнения 1,3,5,7.

Образец был закреплён на вращающейся подставке (так что можно было менять углы  $\theta$ ,  $\phi$ ) и погружен в полутораградусную камеру криостата. Значения углов измерялись при помощи трехмерного датчика Холла, жестко связанного с вращающейся подставкой. Для этого было спроектированы и собраны две вставки(см. рис. 2.4). Вращение от сервопривода, закрепленного на теплой части волновода, передавалось на ролик с помощью ременного привода. К ролику жестко прикреплены непосредственно подставка под образец(рис. 2.4 б)), обеспечивающая изменение угла  $\theta$  или шестерёнка, передающая вращение на другую шестерню, закреплённую на оси под углом в 45° к направлению магнитного поля. На второй шестеренке располагался образец. Заметим, что в оси имелся специальный слот под 3D-датчик Холла.

Мощность падающего на образец излучения контроллировалась, так чтобы динамическое ядерное намагничивание было пренебрежимо мало. Дело в том, что вблизи ЭПР создается неравновесная заселенность верхнего спин-отщепленного уровня Ландау. Существует несколько каналов релаксации спина электрона (т.е. переход электрона на нижний подуровень Ландау) [29, 21], одним из которых основан на сверхтонком взаимодействии спинов электронов и ядер [27]: при перевороте спина электрона ядерный спин также переворачивается. Таким образом, вблизи ЭПР выстраивается динамическая ядерная поляризация, искажающая магнитное поле, воздействующее на спины электронов (сдвиг Оверхаузера [30]), что в свою очередь приводит к смещению и даже искажению пиков ЭПР. Стоит отметить, что с помощью этого метода можно изучать время релаксации ядерных спинов [27].

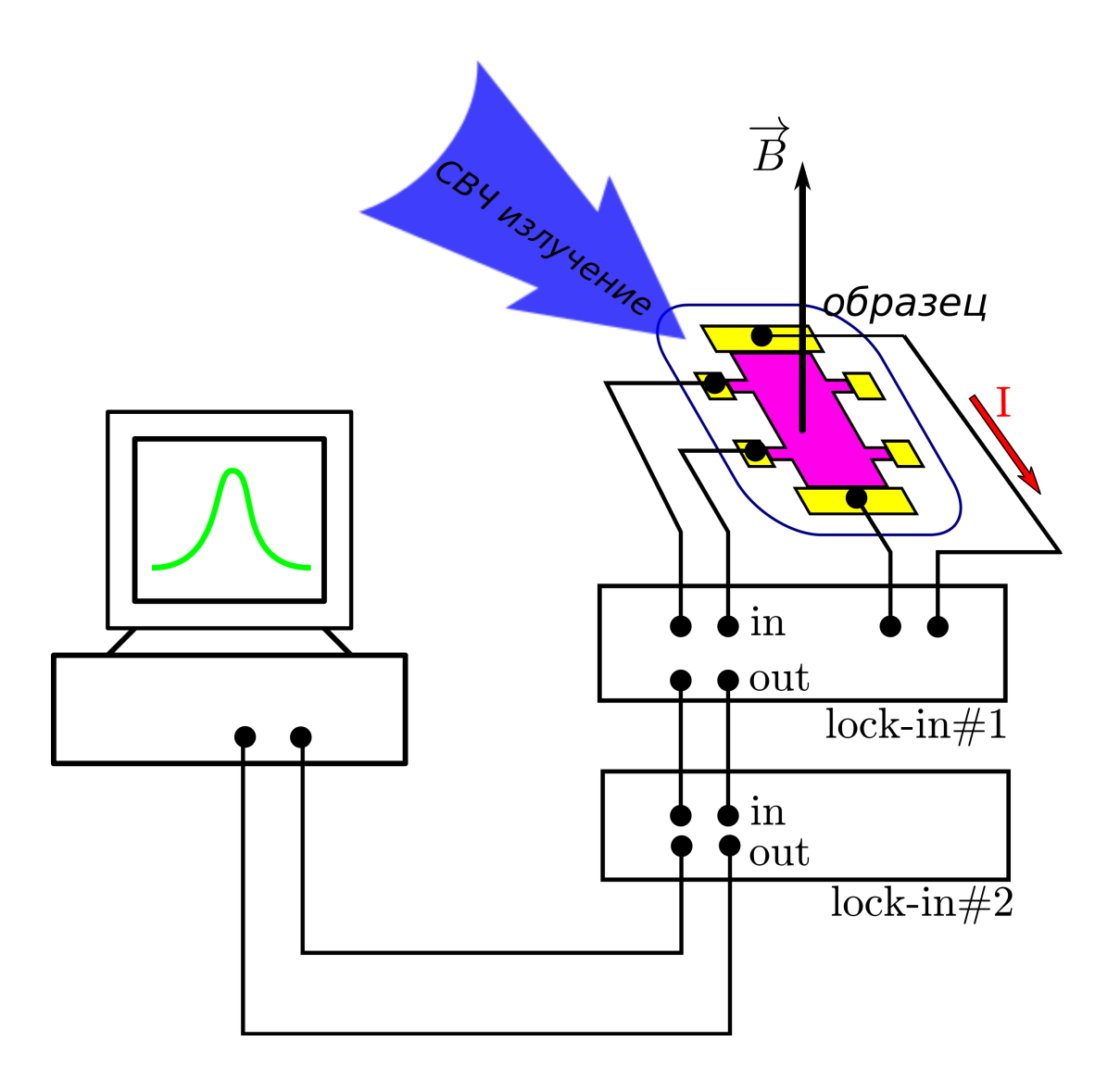


Рис. 2.2: Схема установки. По образцу, выполненному в виде стандартного мостика Холла, пропускается ток, создаваемый внутренним источником первого синхронного детектора Princeton Applied Research 5301A, измеряющего продольное сопротивление образца  $R_{xx}$ . Образец освещается модулированным по амплитуде СВЧ-излучением, генерируемым AnritsuMG3696 и передаваемым по волноводу или по коаксиальной линии. Второй синхронный детектор Stanford Research Systems SR830 настроен на частоту модуляции СВЧ-излучения, измеряет добавку  $\delta R_{xx}$ , обусловленную поглощением микроволнового излучения. Вблизи образца расположен термометр(заранее прокалиброванное сопротивление), контролирующее температуру образца.

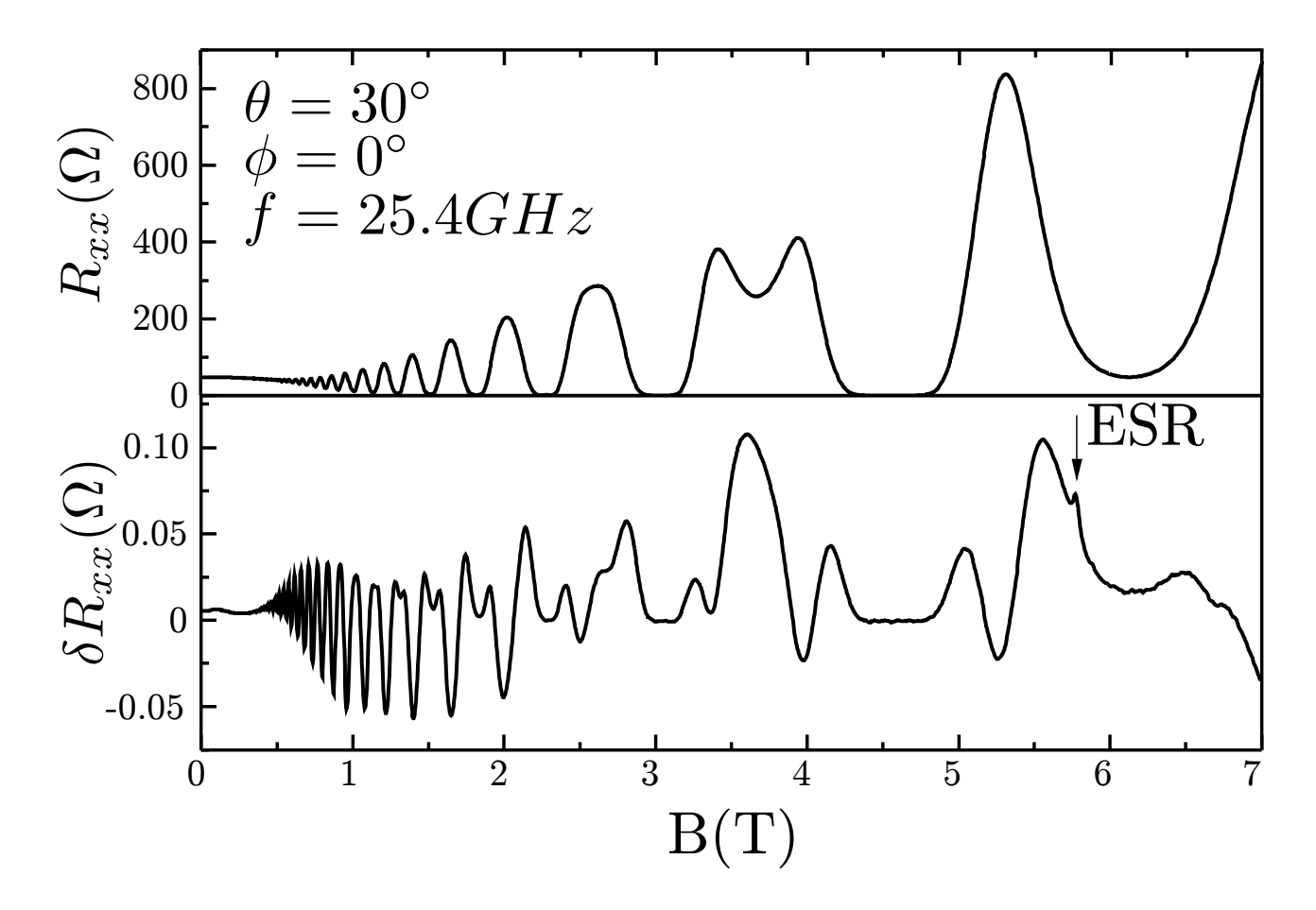
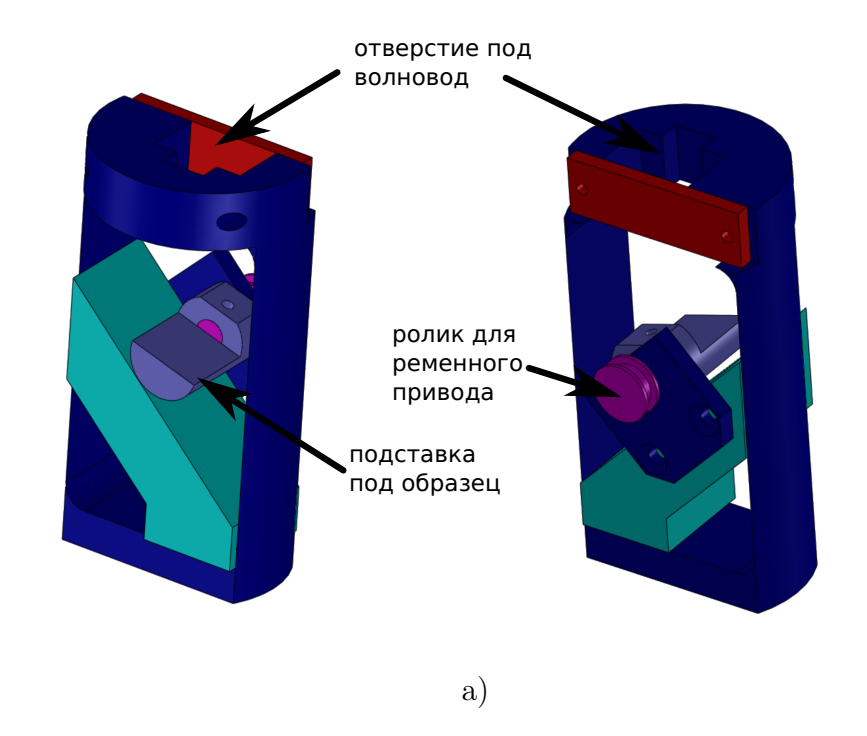


Рис. 2.3: Типичный вид зависимости  $R_{xx}(B)$  и  $\delta R_{xx}(B)$ . Зависимости измерены на образце 2.  $\theta=30^\circ,\ \phi=0^\circ.$  Стрелкой указан конутр ЭПР.



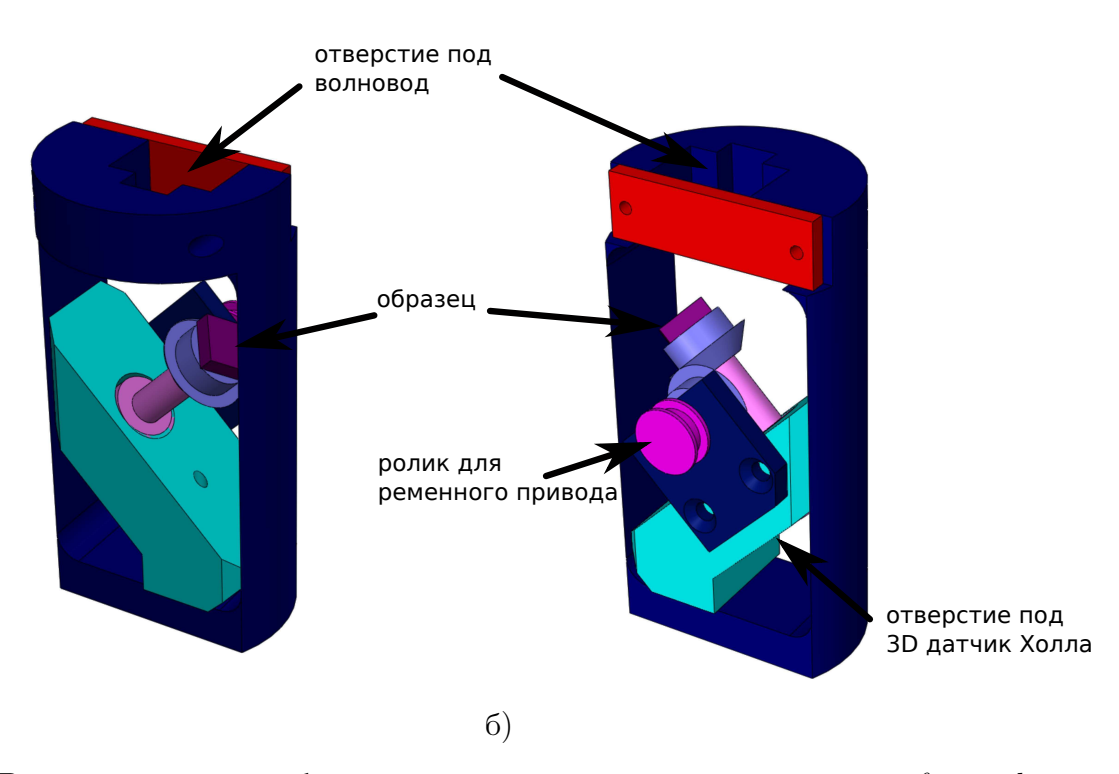


Рис. 2.4: 3D модели вставок, собранных для последовательного изменения  $\theta$ , при фиксированном  $\phi$  (рисунок а)), и для изменения  $\phi$  при постоянном  $\theta = 45^{\circ}$ . Изделия закреплялись на волноводе и погружались в полутораградусную камеру криостата. Вращение при помощи ременной передачи передавалось на ролик, приводивший в движение непосредственно подставку с образцом(рисунок а))или шестерню(рисунок б)). Шестерня закручивала другую шестерню, закрепленную на оси, направленную под углом в 45° к вектору магнитного поля. В оси был предусмотрен слот для 3D датчика Холла. Образец закреплялся на второй шестерне.

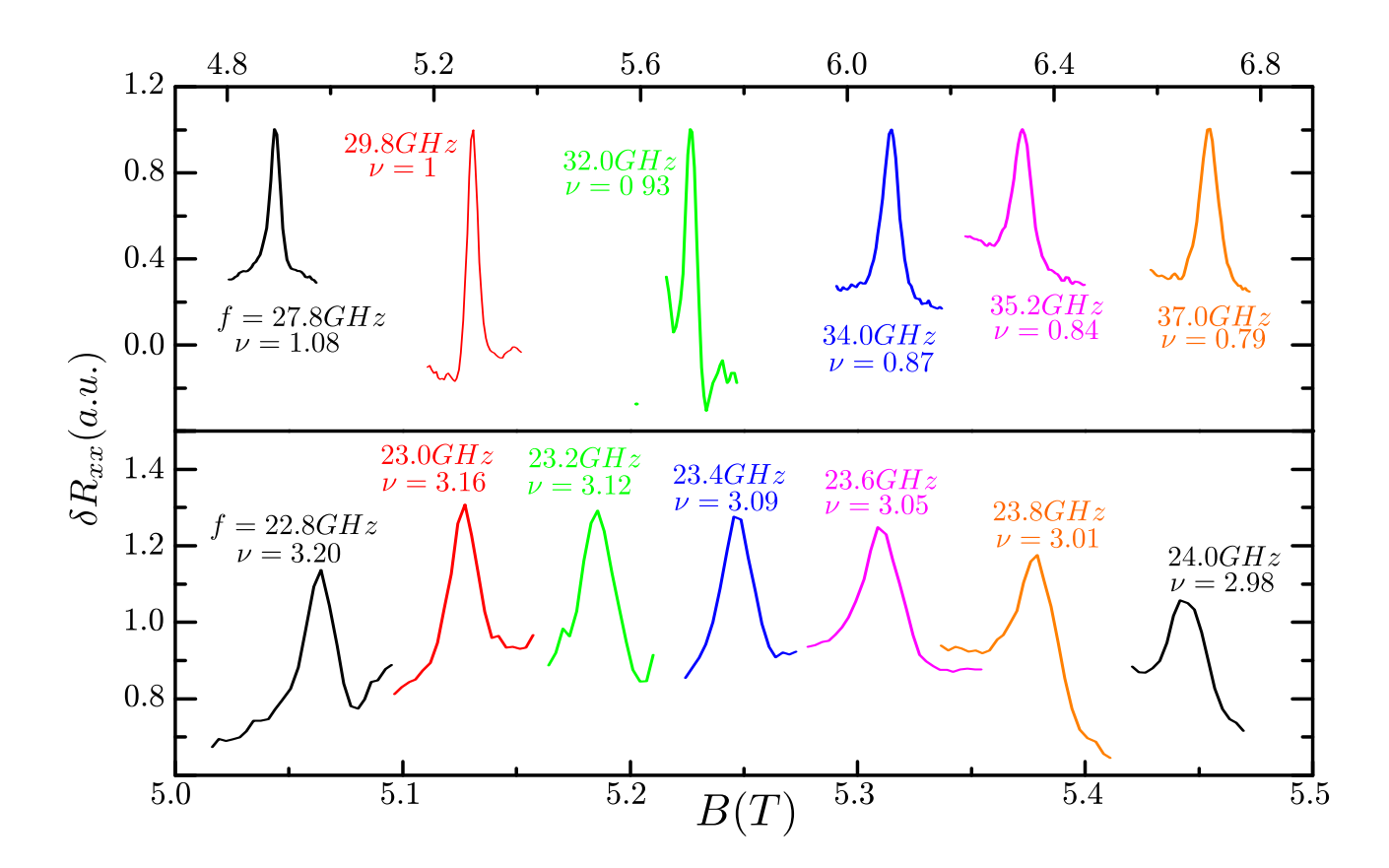


Рис. 2.5: Характерный вид пиков ЭПР, снятых при облучении образца CBY -излучением различной частоты при развороте поля. Пики сняты на образцах 1(сверху) и 2(снизу) при 1.5K.

# Глава 3

# Результаты и обсуждения

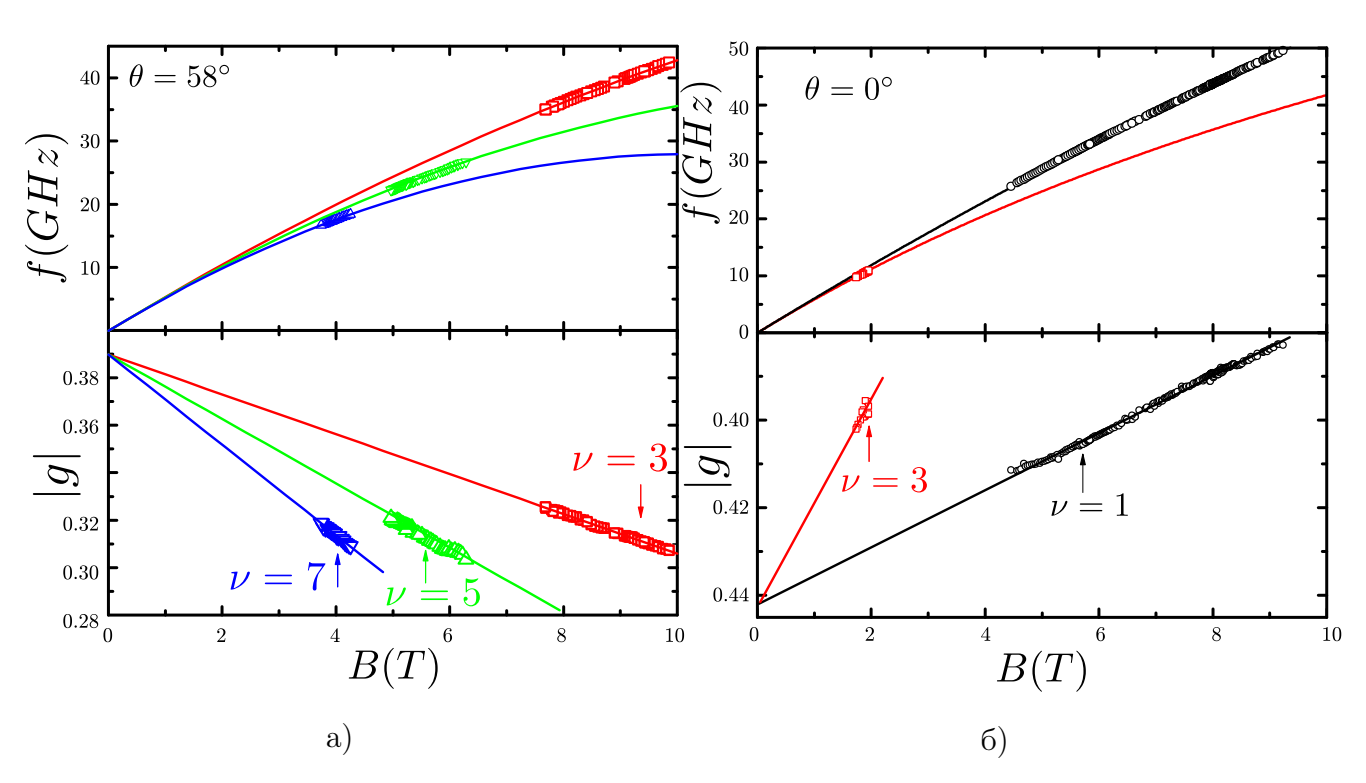


Рис. 3.1: Зависимости f(B) и g(B), снятые на образце 1 в перпендикулярном поле(рисунок б)) и образце 3 в наклонном магнитном поле(рисунок а)).

В данной работе мы измеряли g-фактор вблизи дна подзоны размерного квантования, т.е. g-фактор, получаемый экстраполяцией зависимости g(B) в нулевые поля. Как было указано ранее, в случае перпендикулярного поля g(B) кусочно-линейна. Мы проверили, что подобная зависимость сохраняется и при произвольной ориентации магнитного поля. Для этого вблизи различных факторов заполнения( $\nu=1,3,5,7$ ) на двух различных образцах в наклонном и перпендикулярном поле были сняты f(B) и g(B). Видно(см. рис.

3.1), что как в наклонном, так и в перпендикулярном поле вблизи всех факторов заполнения  $f(B) = f_0 + (g_0 - aB)B$ , причем величина  $f_0$  пренебрежимо мала, а  $a \sim (N + 1/2)$ , где N - номер соответствующего уровня Ландау, а значит, g(B) линеен по магнитному полю.

В первой серии экспериментов для различных фиксированных ориентаций плоскостных компонент магнитного поля последовательно изменялся угол  $\theta$ , при этом снималась зависимость частоты ЭПР f(B) и g(B). Действуя таким способом, можно показать, что главными осями тензора  $\hat{g}$  являются кристаллографические направления [001], [110] и [1 $\overline{10}$ ]. При этом, f(B) для различных углов  $\theta$ , но одного и того же угла  $\phi$  не ложатся на одну кривую (см. 3.2a)), демонстрируя таким образом явное различие между компонентами  $g_{\parallel}$  и  $g_z$ . Еще отчетливее это заметно, если построить зависимости  $g(B) = \frac{hf}{\mu_B B}$  для нескольких различных  $\theta$  (см. 3.26)).

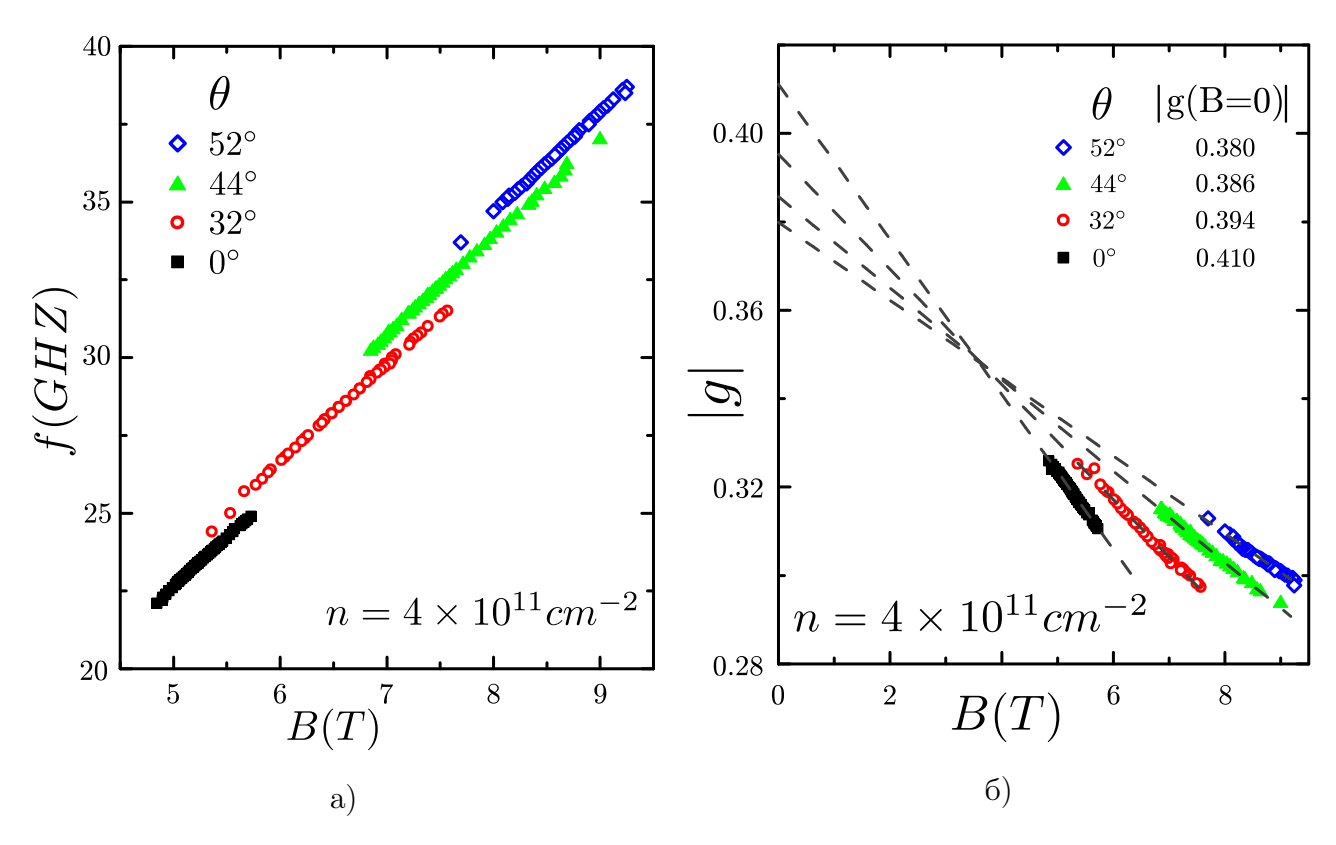


Рис. 3.2: Зависимости f(B)(рисунок а)) и g(B) (рисунок б)), снятые на образце 2 при  $\phi = 90^{\circ}$  и различных углах  $\theta$ . На рисунке б) указаны значения g-фактора, получаемые при линейной экстраполяции указанных зависимостей.

Из формулы 1.5 следует, что для двух ориентаций плоскостной составляющей магнитного поля (вдоль [110](Ox) и вдоль  $[1\overline{10}](Oy)$ ):

$$g^{2} = g_{zz}^{2} \cos^{2}\theta + g_{xx}^{2} \sin^{2}\theta, B_{\parallel} \parallel Ox$$
(3.1)

$$g^{2} = g_{zz}^{2} \cos^{2}\theta + g_{yy}^{2} \sin^{2}\theta, B_{\parallel} \parallel Oy$$
 (3.2)

Видно, что квадрат g-фактора линеен по  $\cos^2\theta$  (см. рис. 3.3) и экстраполяция этих зависимостей при соответствующей ориентации магнитного поля в нулевые значения  $\cos^2\theta$  позволяет измерить диагональные компоненты тензора  $\hat{g}$  (см. рис. 3.3). Стоит подчеркнуть, что компонента  $g_{zz}$  измерялась из независимых экспериментов в перпендикулярном магнитном поле. Полученные экспериментально значения указаны в таблице 3.1. Общеизвестно, g-фактора электрона в широких ямах является отрицательным и в наших экспериментах не проверялся.

Таблица 3.1: Экспериментально измеренные в первой части экспериментов  $\hat{g}$  компоненты  $(Ox \parallel [110], Oy \parallel [1\overline{10}]$  и  $Oz \parallel [001])$ 

	AQW (#2)	AQW (#4)	SQW(#2)
$g_{xx}$	-0.289	-0.292	-0.340
$g_{yy}$	-0.359	-0.347	-0.340
$g_{zz}$	-0.410	-0.403	-0.414

Подчеркнем, что элемнты  $\hat{g}$  в асимметричных ямах шириной 20 и 25 nm отличаются слабо. Дело в том, что зависимость g от ширины ямы выходит на насыщение в достаточно широких ямах (и стремится к "объёмному"значению -0.44в бесконечно широких ямах).

В рамках данной работы было проверено, что значение g-фактора электрона определяется исключительно ориентацией магнитного поля относительно кристаллографических осей и не зависит от направления протекания электрического тока по образцу. Для этого на образце 3 и были приготовлены два взаимно перпендикулярных мостика Холла (см. вставку к рис. 3.4), линии сток-исток которых ориентированы вдоль направлений [110] (меза A) и [1 $\overline{10}$ ] (меза B) соответственно. На каждом из двух мостиков были сняты зависимости g-фактора от магнитного поля для трех различных конфигураций поля(см. рис. 3.4):магнитное поле перпендикулярно к плоскости квантовой ямы, магнитное поле наклонено ( $\theta = 58^{\circ}$ ), а плоскостная составляющая ориентирована вдоль направлений [110] и [1 $\overline{10}$ ] последовательно. Для каждой ориентации поля измеренные на разных мостиках g(B) совпадают, а значит, направление протекания тока не оказывает влияния на значение g.

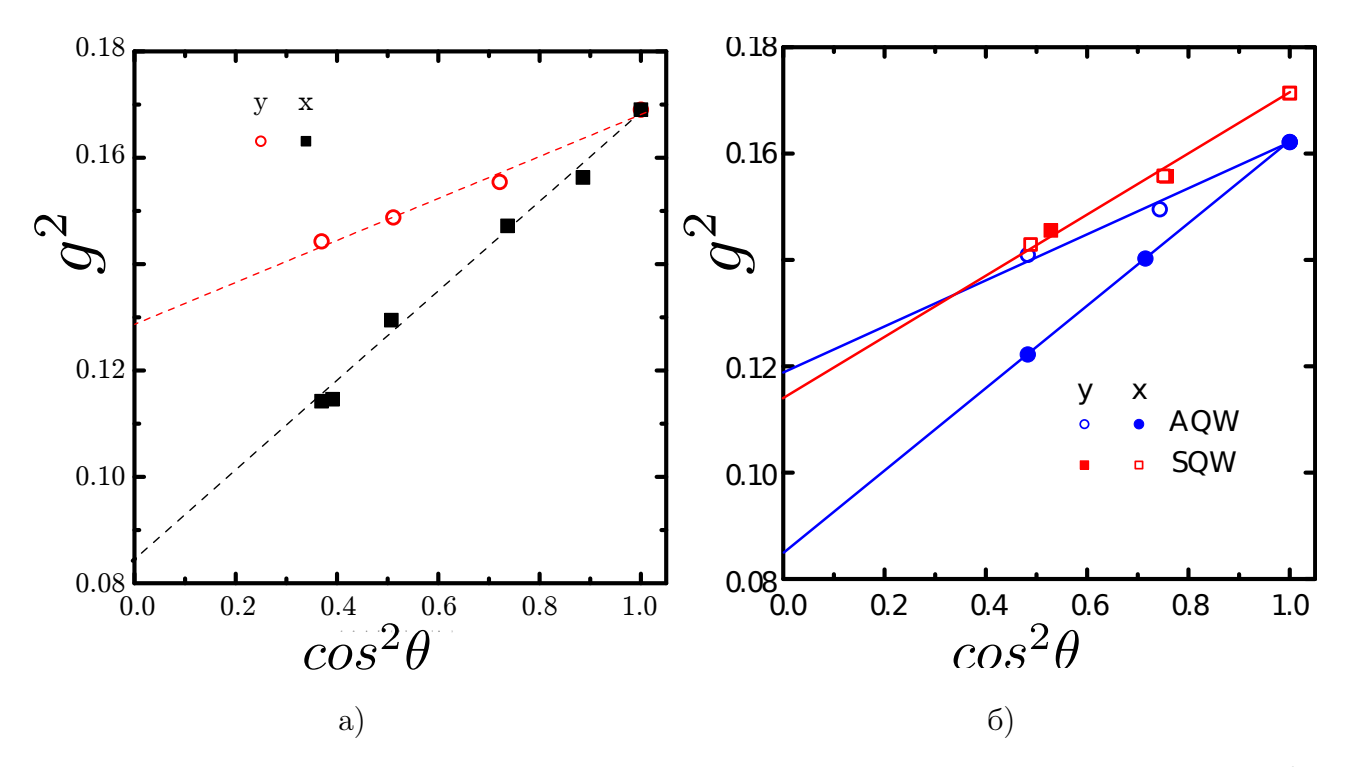


Рис. 3.3: Зависимость квадрата g вблизи дна подзоны размерного квантования от  $\cos^2\theta$  при двух различных ориентациях плоскостной компоненты магнитного поля, снятые на образце 2(рисунок а)) и на образцах 4,5(рисунок б)). Символы - экспериментально полученные данные, линии - линейная аппроксимация данных зависимостей. Пересечение линий с вертикальной осью дает значения  $g_{xx}$ ,  $g_{yy}$  согласно 3.1, 3.2. Видно, что в асимметричных ямах g сильно анизотропен, а в симметричных - анизотропии практически нет.

Чтобы исследовать более подробно плоскостную анизотропию g-фактора, была проведена другая серия экспериментов. Угол  $\theta=45^\circ$  был зафиксирован и последовательно изменялся угол  $\phi$ , при этом вращение образца производилось без термоциклирования. Используя значение  $g_{zz}$ , полученное в независимом эксперименте при  $\theta=0^\circ$ , согласно формуле 1.5 можно получить плоскостную составляющую g-фактора:  $g_{\parallel}(\phi)=\sqrt{2g^2(\theta=45^\circ,\phi)-g_{zz}^2}$ , как показано на рис. 3.5 а). Из формулы 1.5 следует зависимость  $g_{\parallel}(\phi)$ :

$$g_{\parallel}^{2}(\phi) = g_{xx}^{2}\cos^{2}\phi + g_{yy}^{2}\sin^{2}\phi \tag{3.3}$$

Результат аппроксимации (сплошная линия) по формуле 3.3 данных для асимметричных и симметричных квантовых ямах явно демонстрирует, что главными осями тензора  $\hat{g}$  являются кристаллографические направления [001], [110] и [1 $\overline{1}$ 0] соответственно. Стоит отметить, что в симметричных квантовых ямах наблюдается небольшая плоскостная ани-

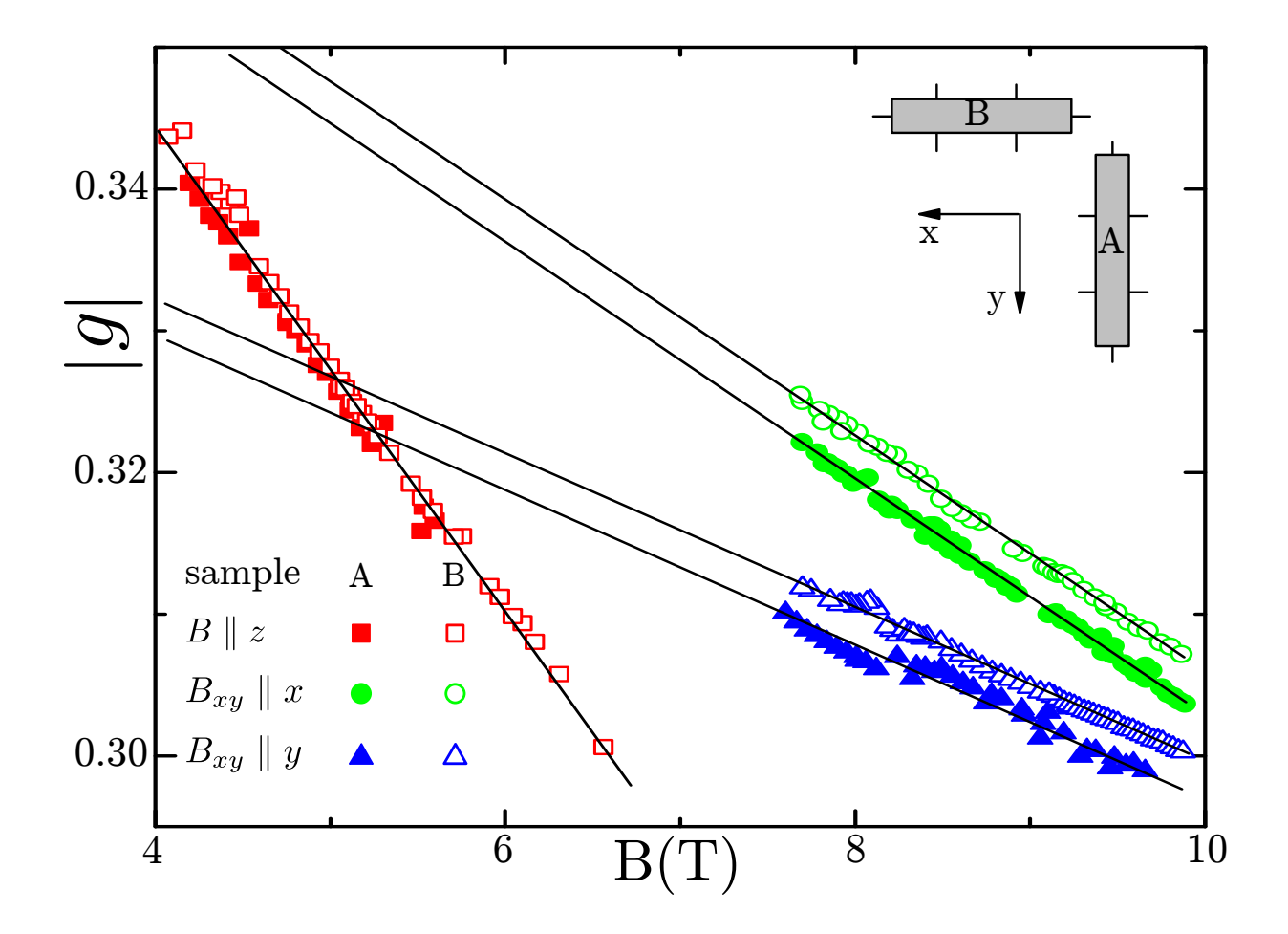


Рис. 3.4: Зависимость g-фактора от магнитного поля, снятого на образце с двумя мезами(образец 3). Пустые и полные символы отвечают мезам A и B соответственно. Квадраты - зависимости при  $B \parallel Oz$ , остальные данные получены при  $\theta = 58^\circ$  (кружки и треугольники отвечают ориентации плоскостной компоненте  $B_{\parallel}$  параллельной осям x и у соответственно.)

зотропия g-фактора, вызванная, по-видимому, небольшой остаточной асимметрией двухстороннего легирования квантовой ямы. Экспериментально полученные значения элементов  $\hat{g}$  указаны в таблице 3.2. Заметим, что небольшое отличие полученных значений в таблицах 3.1 и 3.2, вероятно, обусловлены небольшим изменением концентрации из-за термоциклирований в первой части экспериментов.

Обсудим возможность измерить компоненты тензора  $\hat{a}$  линейных по магнитному полю поправок к  $g_{\alpha\beta}$ , используя экспериментально полученные значения :

$$a^* = \frac{dg}{dB} = \frac{1}{g(B=0)} \sum_{i,j,k} g_{ij} a_{ijk} n_i n_j n_k$$
 (3.4)

Квадратичные поправки в данной формуле отброшены. Одну компоненту  $\hat{a}$  можно из-

Таблица 3.2: Полученные во второй части экспериментов компоненты  $\hat{g}$  И  $\hat{a}$  ( $Ox \parallel [110]$ ,  $Oy \parallel [1\overline{10}]$  и  $Oz \parallel [001]$ )

П	[110] 11 0 %    [001])			
		AQW (#4)	SQW (#5)	
	$g_{xx}$	$-0.292 \pm 0.05$	$-0.343 \pm 0.04$	
	$g_{yy}$	$-0.347 \pm 0.05$	$-0.350 \pm 0.04$	
	$g_{zz}$	$-0.403 \pm 0.01$	$-0.414 \pm 0.01$	

	AQW (#4)	SQW (#5)
$a_{xxz}(T^{-1})$	$0.002 \pm\ 0.001$	$0.0075 \pm 0.0005$
$a_{yyz}(T^{-1})$	$0.012 \pm 0.001$	$0.0090 \pm 0.0005$
$a_{zzz}(T^{-1})$	$0.017 \pm 0.0001$	$0.016 \pm 0.0001$

мерить непосредственно при  $\theta=0^{\circ}$ ,а именно  $a_{zzz}$ . Положим, что остальные элементы  $\hat{a}$  равны нулю, тогда формула 3.4 принимает вид:

$$a^* = \frac{g_{zz}a_{zzz}n_z^3}{g(B=0)} = \frac{g_{zz}a_{zzz}\cos^3\theta}{g(B=0)}$$
 (3.5)

При этом  $a^*$  не зависит от угла  $\phi$ . На рис. 3.56), построены полученные в эксперименте значения  $a^* - \frac{g_{zz}a_{zzz}cos^3\theta}{g(B=0)}$  как функция угла  $\phi$ . Видно, что эти зависимости для симметричной и асимметричной квантовых ямах не равны нулю и демонстрируют явную анизотропию (как и  $g(\phi)$ ). При этом, как и в случае  $g(\phi)$ , анизотропия  $\hat{g}$  существенно меньше в симметричной гетероструктуре. Отсюда можно сделать вывод, что в  $\hat{a}$  присутствуют ненулевые элементы помимо  $a_{zzz}$ . Поскольку  $g_{ij}$ , при  $i \neq j$ , только члены вида  $g_{ii}a_{iik}n_i^2n_k$  вносят вклад в  $a^*$ . Более того, как следует из 3.5, только два члена из оставшихся, а именно  $g_{xx}a_{xxz}n_x^2n_z$  и  $g_{yy}a_{yyz}n_y^2n_z$ , могут давать вклад необходимой симметрии по углу  $\phi$ . Таким образом, с учетом всех ненулевых элементов  $\hat{a}$  формула 3.5 будет иметь вид:

$$a^* = \frac{1}{g(B=0)} (g_{zz} a_{zzz} \cos^3 \theta + [g_{xx} a_{xxz} \cos^2 \phi + g_{yy} a_{yyz} \sin^2 \phi] \sin^2 \theta \cos \theta)$$
 (3.6)

Квантующее магнитное поле оказывает влияние на все главные элементы тензора  $\hat{g}$  за счет изменения зонной структуры образца. Заметим, что знак полученных  $a_{iik}$  положителен, так что приложение магнитного поля уменьшает модуль g-фактора, знак которого отрицателен. Экспериментально полученные значения  $\hat{a}$  указаны в таблице 3.2.

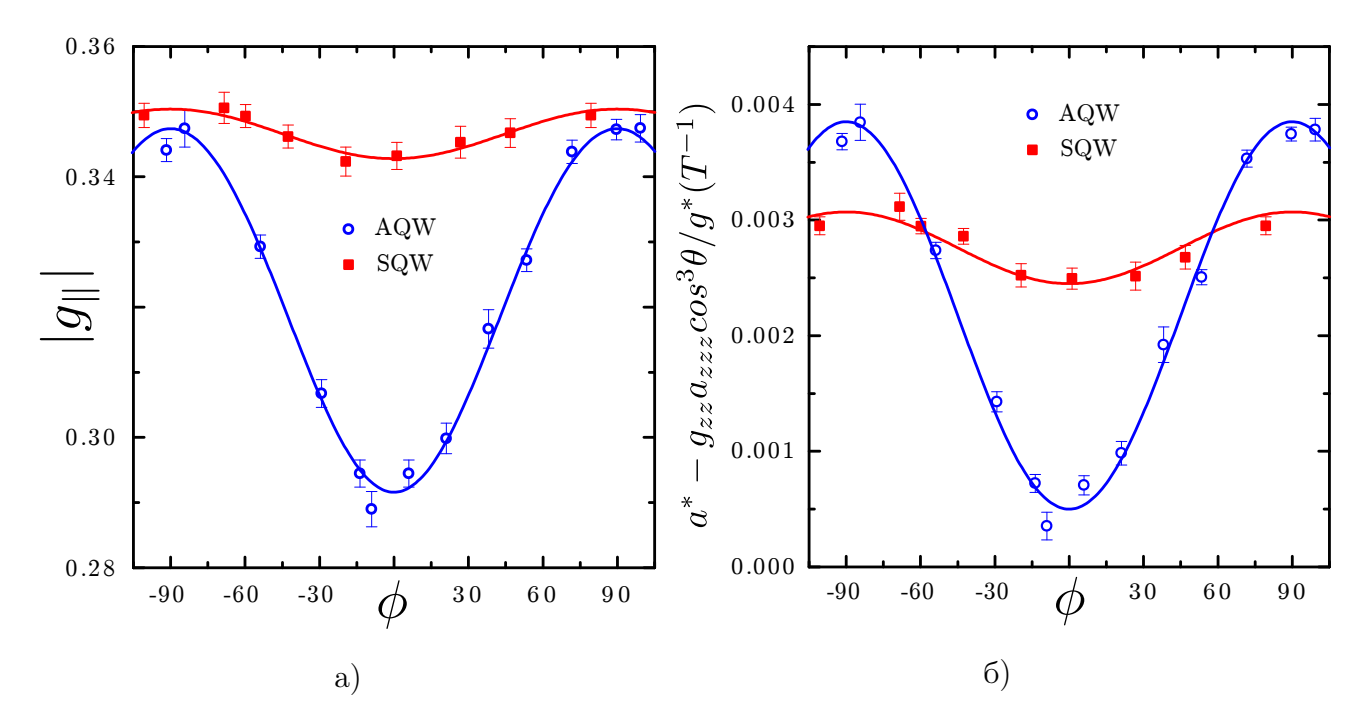


Рис. 3.5: Экспериментальная зависимость плоскостной части g(рисунок а)) вблизи дна подзоны размерного квантования и линейной по магнитному полю поправки  $a^*$  к g-фактору (рисунок б)) от угла  $\phi$ , снятых на образцах 4(открытые кружки) и 5(заполненные квадраты). Из  $a^*$  вычтена независящая от  $\phi$  часть. Сплошные линии - аппроксимации экспериментальных данных по формулам 3.3 и 3.5 соответственно.

#### Глава 4

## Выводы

Основные результаты работы состоят в следующем:

- 1. Для исследования электронного парамагнитного резонанса были спроектированы и собраны две низкотемпературные вставки, позволяющие контролируемо и воспроизводимо изменять ориентацию образца относительно приложенного магнитного поля.
- 2. В системе двумерных электронов исследован электронный спиновый резонанс и изучена зависимость положения линии резонансного микроволнового поглощения от фактора заполнения.
- 3. Подтверждена кусочно-линейная зависимость *g*-фактора электрона от магнитного поля с разрывами вблизи четных факторов заполнения, в том числе и в случае магнитного поля, направленного под углом к плоскости двумерной электронной системы.
- 4. Главные значения тензора  $\hat{g}$  были измерены для асимметричных квантовых ям с ширинами 25 и 20 nm и концентрацией  $4\times 10^{11}cm^{-2}$  и  $4.4\times 10^{11}cm^{-2}$  и симметричной ямы с шириной 20 nm и концентрацией  $4.8\times 10^{11}cm^{-2}$ . При этом была обнаружена сильная анизотропия g:

	AQW (#2)	AQW (#4)	SQW (#5)
$g_{xx}$	-0.289	-0.292	-0.343
$g_{yy}$	-0.359	-0.347	-0.350
$g_{zz}$	-0.410	-0.403	-0.414

- 5. Было продемонстрировано, что плоскостная анизотропия g-фактора практически исчезает в симметричных квантовых ямах.
  - 6. Было показано, что значения g-фактора определяется ориентацией магнитного поля

относительно кристаллографических направлений образца, а не направлением протекания тока.

- 7. Было показано, что главными осями тензора  $\hat{g}$  являются кристаллографические направления [001], [110], [1 $\overline{10}$ ].
- 8. Были исследованы линейные по магнитному полю поправки к тензору  $\hat{g}$  в симметричной и асимметричной квантовых ямах с шириной 20nm и концентрацией около  $4 \times 10^{11} cm^{-2}$ . Показано, что  $\hat{a}$  имеет три ненулевых элемента. При этом была обнаружена сильная анизотропия  $a^*$ :

	AQW (#4)	SQW (#5)
$a_{xxz}(T^{-1})$	$0.002 \pm 0.001$	$0.0075 \pm 0.0005$
$a_{yyz}(T^{-1})$	$0.012\pm\ 0.001$	$0.0090 \pm 0.0005$
$a_{zzz}(T^{-1})$	$0.017 \pm 0.0001$	$0.016 \pm 0.0001$

Результаты были опубликованы в нескольких работах [21], [22], [23] и были представлены на следующих конференциях: X Российская конференция по физике полупроводников, 54 научная конференция МФТИ.

Наконец, хотелось бы выразить благодарность моему научному руководителю И. В. Кукушкину за всестороннюю поддержку и терпение, Ю. А. Нефёдову за помощь на различных стадиях эксперимента, обработки и обсуждения полученных результатов, а также всем сотрудникам лаборатории ЛНЭП за дружескую атмосферу.

## Литература

- [1] Kato et al., Science **306**,1910 (2004)
- [2] C. Kallin and B. I. Halperin Phys. Rev. B **30**, 5655 (1984)
- [3] Jongsoo Yoon et al., Phys. Rev. Lett. **84**, 4421 (2000)
- [4] Wolf et al., Science **294**,1488 (2001)
- [5] Е.К. Завойский, J.Phys. USSR, v.9, **245** (1945)
- [6] Claude Weisbuch and Claudine Herrman, Phys. Rev. B, 15, 816 (1977)
- [7] Roth, Lax, and Zwerdling, Phys. Rev. 114, 90 (1959)
- [8] P. Pfeffer and W. Zawadzki, Phys. Rev. B **74**, 233303 (2006)
- [9] E.L. Ivchenko and A.A. Kiselev, Sov. Phys-Semicond. 26, 827 (1992).
- [10] Y. A. Bychkov and E. I. Rashba, JETP Lett. **39**, 78 (1984)
- [11] G. Dresselhaus, Phys. Rev. **100**, 580 (1955)
- [12] P.Le Jeune et al., Semicond. Sci. Technol. 12, 380(1997)
- [13] T.Amand, X.Marie, P. Le Jeune, M. Brousseau, D.Robart, J.Barrau and R.Planel, Phys. Rev. Lett. 78,1355(1997).
- [14] A.P. Heberle, W.W. Ruhle, and K. Ploog, Phys. Rev. Lett. 72, 3887 (1994).
- [15] S.Bar-Ad and I.Bar-Joseph, Phys. Rev.Lett. **66**,2491(1991).
- [16] I.A. Yugova, A. Greilich, D.R. Yakovlev, A.A. Kiselev, M. Bayer, V.V. Petrov, Yu. K. Dolgikh, D. Reuter, and A.D. Wieck, Phys. Rev. B 75, 245302 (2007)

- [17] A. Malinowski and R. T. Harley, Phys. Rev. B 62, 2051 (2000).
- [18] V.K. Kalevich and V.L. Korenev, Pis'ma v ZhETF 57, 557 (1993) [JETP Lett. 57, 571 (1993)].
- [19] S. Hallstein, M. Oestreich, W.W. Ruhle, K. Kohler, Proceedings of 12th International Conference High Magnetic Fields in the Physics of Semiconductors, p. 593 (1996)
- [20] P. S. Eldridge et al., Phys. Rev. B 83, 041301(R) (2011)
- [21] Yu.A. Nefyodov, A.A. Fortunatov, A.V. Shchepetilnikov, and I.V. Kukushkin, Pis'ma v ZhETF 91, 385 (2010) [JETP Lett. 91, 357 (2010)].
- [22] Yu.A. Nefyodov, A.V. Shchepetilnikov, I.V. Kukushkin et al., Phys. Rev. B 83, 041307(R) (2011).
- [23] Yu.A. Nefyodov, A.V. Shchepetilnikov, I.V. Kukushkin et al., Phys. Rev. B 84, 233302 (2011).
- [24] G.Lommer, F.Malcher, and U.Rössler, Phys. Rev. B 32, 6965 (1985).
- [25] M. Dobers, K.v. Klitzing and G. Weimann, Phys. Rev. B 38, 5453 (1988).
- [26] D. Stein, K.v. Klitzing and G. Weimann, Phys. Rev. Lett. 51, 130 (1983).
- [27] A. Berg, M. Dobers, P. R. Gerhardts, and K. von Klitzing, Phys. Rev. Lett. 64, 2563 (1990).
- [28] N. Nestle, G. Denninger, M. Vidal, C. Weinzierl, K. Brunner, K. Eberl, and K.v. Klitzing, Phys. Rev. B 56, R4359 (1997).
- [29] S.Dickmann and S.L.Artyukhin, Письма в ЖЭТФ **89**, 153 (2008)
- [30] Albert W. Overhauser, Phys. Rev. **92**, 411 (1953)